

铸铁的热处理

伏克斯著



机械工业出版社

鑄 鐵 的 热 处 理

伏 克 斯 著

陈 润 譯



机 械 工 业 出 版 社

1957

出版者的話

本書主要內容是討論鑄鐵的金相組織和影响鑄鐵組織与性能的因素，叙述鑄鐵热处理的基本原理，并詳細地介绍了灰口、白口和冷硬鑄鐵的各种热处理以及鑄鐵表面热处理和化学热处理的近代工艺方法和最新成就，同时还指出了鑄鐵及其热处理在机器制造中的应用与發展前途。

本書可供机器制造工厂的工程技术人员参考之用。

苏联 С. И. Фукс 著 ‘Термическая обработка чугуна’
(Машгиз 1954 年第一版)

* * *

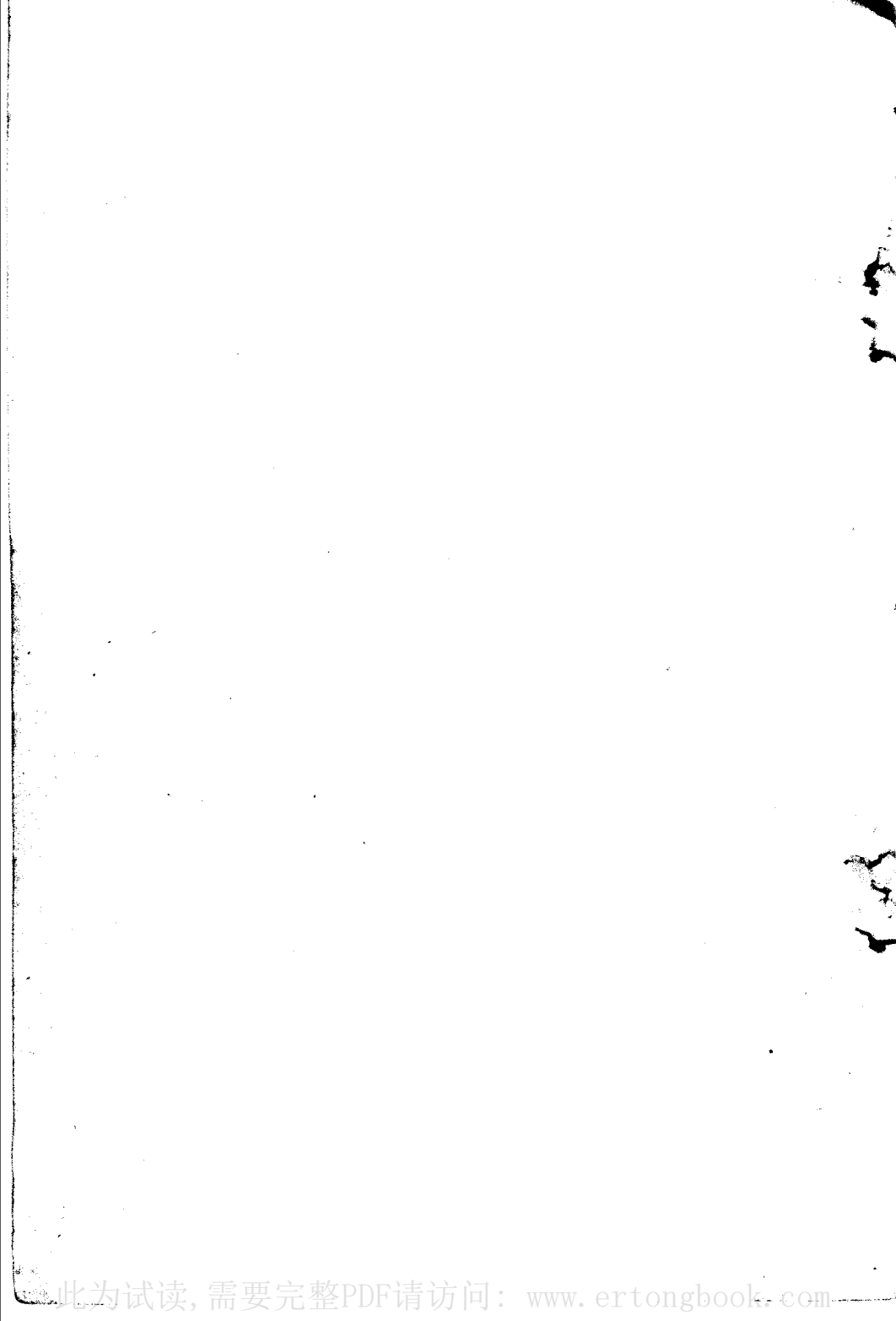
NO. 1448

1957年10月第一版 1957年10月第一版第一次印刷
850×1168 1/32 字数 110 千字 印张 4 3/8 插页 4 0,001-- 3,200 册
机械工业出版社(北京东交民巷 27 号)出版
机械工业出版社印刷厂印刷 新华书店发行

北京市書刊出版業營業許可証出字第 008 号 定价(10) 0.90 元

目 次

緒論	3
一 鐵碳合金——鑄鐵的成分和相 成分(7)——基本相(8)	7
二 鐵碳合金的相平衡圖	12
鐵碳合金的穩定相平衡圖(14)——鐵碳合金的類穩定相平衡圖 (15)	
三 鑄鐵的組織與性能	17
白口鑄鐵的組織(17)——灰口鑄鐵的組織(18)——鑄鐵的機械性 能與工藝性能(18)——鑄鐵的物理性質與化學性質(33)	
四 影響鑄鐵組織與性能的因素	38
熔融鑄鐵的化學成分(38)——液態鑄鐵的過熱與保溫(42)——變 質處理(43)——冷卻速度(45)——鑄鐵的合金化(46)——高合金 鑄鐵(50)——高強度鑄鐵(53)——低碳高強度鑄鐵(54)——球墨 鑄鐵(55)	
五 鑄鐵的熱處理(總論)	58
鑄鐵在熱處理時的加熱、保溫與冷卻(59)——鑄鐵加熱時組織的轉 變(62)——鑄鐵冷卻時組織的轉變(64)	
六 灰口鑄鐵的熱處理	79
消除內應力(鑄造應力)的熱處理(79)——降低硬度的熱處理(81) ——提高硬度與強度的熱處理(84)	
七 鑄鐵的表面淬火	100
高頻率感應加熱(100)——電解加熱(104)——火焰淬火(105)	
八 白口鑄鐵(可鍛鑄鐵)的熱處理	108
白口鑄鐵退火時的石墨化過程(108)——石墨化完全退火(112) ——石墨化不完全退火(116)——可鍛鑄鐵的正火與淬火(122)——鑄鐵 板及其熱處理(123)——石墨化鋼(125)	
九 冷硬鑄鐵的熱處理	126
鑄鐵車輪的熱處理(128)	
十 鑄鐵的化學熱處理	131
氮化(134)——滲入金屬法(136)——在澆注鐵水于鑄型時鑄件的表 面合金化(139)	
參考文獻	148



緒論

鑄鐵是鐵與碳以及其他元素組成的合金，它的特點是具有共晶轉變。

鑄鐵在機器製造中的應用範圍很廣，這是因為它的鑄造性質很好，熔化溫度較低，並且成本不高。

在機器製造業中用高質量鑄鐵代替鋼與有色金屬，為提高機器質量和耐久性以及降低造價開辟了遠大的前途。

在鑄鐵金屬學的科學問題研究中，蘇聯的金屬學者、熱處理工作者和鑄造師的工作佔着很重要的地位，而且應該着重指出巴甫洛夫（М. А. Павлов）、巴依可夫（А. А. Байков）、庫爾納科夫（Н. С. Курнаков）、維托爾夫（Н. М. Витторф）、包赤瓦爾（А. А及 А. М. Бочвар）、古得曹夫（Н. Т. Гудцов）、斯金別爾格（С. С. Штейнберг）、奧克諾夫（М. Г. Окнов）、包格切夫（И. Н. Богачев）、布寧（К. П. Бунин）、瓦森科（К. И. Ващенко）、格里索維奇（Н. Г. Гиршович）及其他人的工作。由於他們的著作，明確了鑄鐵金屬學中的某些問題，並且為灰口鑄鐵與白口鑄鐵熱處理創造了新的方法。

然而到不久以前止，雖然在機器製造業中應用了大量的鑄鐵，但主要是用它製造一些載荷較低的零件。

由於一般灰口鑄鐵的機械性能較低，關於其性能的文獻資料還不全，所以造成了一種錯誤的觀點，認為鑄鐵是一種強度不高的材料，不適於製造重要零件。

近几年來，我們已經掌握了性能已接近于鋼的鑄鐵的生產。由於詳細地研究了這種鑄鐵的性能並確定了影響零件金屬強度的新的因素，就根本地改變了我們對作為機器製造中的結構材料的鑄鐵所持的觀點。

为了用高质量铸铁代替铜与有色金属，不仅我国（苏联）的许多科学研究机构在编制和改进这种铸铁的制造及热处理工艺规程，就是许多机器制造厂也在从事着这项工作。

科学家与生产工作者的创造性的友谊合作，给在生产中采用新品种铸铁带来了良好的结果，但必须使他们的经验成为我国一切机器制造业的财富。

一 鐵碳合金 —— 鑄鐵的成分和相

鐵碳合金中，碳的含量大于1.7%时，称为鑄鐵。鋼与鑄鐵的分界限是假定的；而在多成分合金的鑄鐵，即工業鑄鐵中，鋼与鑄鐵的界限还决定于其他元素（鐵与碳除外）的含量，含碳量可能还高或低一些。

鑄鐵中的碳可能成为石墨或碳化物（渗碳体）状态，或是二者同时存在。

成 分

工業鑄鐵（鐵—碳—硅三元合金）的成分是鐵、碳和硅。

鐵—鐵与其合金的金相学研究是在十九世紀三十年代由俄国偉大学者阿諾索夫（П. П. Аносов）首先进行的，而一个最完善的显微組織的記錄是属于惹少塔爾斯基（А. А. Ржешотарский）的（1898年）。工業純鐵約含鐵99.9%，其他杂质占0.1%。在这些杂质中碳占0.006%，其他元素仅占十万分之几或百万分之几。

工業純鐵的熔化溫度为 1535°C ($\pm 5^{\circ}\text{C}$)。液体金属凝固的結果开始形成具有体心立方晶格的 δ -鐵，晶格常數 $a = 2.93\text{\AA}$ (圖1)， δ -鐵中溶解碳到0.08%。

繼續冷却时， δ -鐵在 1390°C 以上是稳定的，当到此溫度时，则轉变为另一种同素异形体 γ -鐵。 γ -鐵具有面心立方晶格，晶格常数 $a = 3.64\text{\AA}$ (圖2)，溶解碳到1.7%。

再繼續冷却， γ -鐵在 910°C 以上是稳定的，在此溫度时轉变为 α -鐵，它与 δ -鐵一样，也具有体心立方晶格，其晶格常数 $a = 2.87\text{\AA}$ 。

这样，即鐵在固态具有兩种同素异形体： α 和 γ 。 γ -鐵的特点是原子排列最密，当其轉变为 α -鐵时，体积随之增大。

α -鐵的機械性能可由下列數值說明之：抗拉強度 $\sigma_b = 25$

公斤/公厘²，屈服限度 $\sigma_s = 12$

公斤/公厘²，延伸率 $\delta = 50\%$ ，

收縮率 $\psi = 85\%$ ，衝擊韌性

$\alpha_k = 30$ 公斤·公尺/公分²，硬度

$H_B = 80$ 公斤/公厘²。

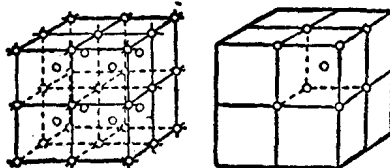


圖 1 α -鐵晶格。

的碳是金剛石和石墨。在金剛石中，每一個碳原子被四個等距離的鄰近原子圍繞着（圖 3）。金剛石的特徵是在原子之間的共價結合。在鐵合金中沒有金剛石形態的碳。關於第二種形態的碳（石墨）的性質下面將要談到。

碳 在自然界中所見到

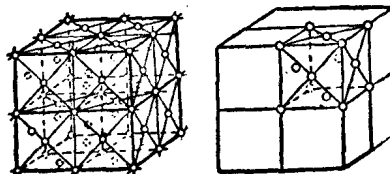


圖 2 γ -鐵晶格。

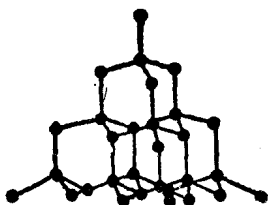


圖 3 金剛石的晶格。

硅 硅的特徵是原子之間的共價結合，並且具有金剛石的晶格（圖 3）。

硅的熔化溫度為 1427°C ，硅的原子量為 28.1，原子體積為 11.6 ，比重為 2.35 克/公分³；在 20°C 時的比熱為 0.17 大卡/公斤·度，線膨脹系數 α 是 6.95×10^{-6} 公厘/公尺·度，硬度是 $30H_B$ 。

基 本 相

鐵碳合金 鑄鐵可能處在下列幾種相的狀態：碳與硅在鐵內的液溶體，碳與硅在 α -鐵內的固溶體（鐵素體），碳與硅在 γ -鐵中的固溶體（奧氏體）。碳可能成為石墨和滲碳體狀態。

液溶體 硅與鐵在液體狀態彼此是無限溶解的，碳在液體狀態的鐵中的溶解度，也顯然是無限的。

鐵素體（ α -相） 碳與其他元素在 α -鐵內的固溶體為體心立

方晶格(圖1)。在鐵素體內，碳的最大溶解量在723°C時是0.04%，而在通常的溫度下為0.006%。

一般的鋼和鑄鐵中，鐵素體固溶體內不僅含有碳，而且也含有相當數量的硅、錳、磷以及其他元素。

應當注意，鐵素體的機械性能決定於其中各種合金元素的含量。例如含2%硅和0.3%磷的灰口鑄鐵的鐵素體的硬度等於 H_B 。可鍛鑄鐵的硬度 H_B 為100，其鐵素體含硅0.85%，含磷0.15%。

當高溫加熱的鐵素體快速冷卻時，獲得過飽和的碳和其他雜質的固溶體，這種固溶體在隨後加熱時有時效的傾向。時效可以提高強度與硬度，這是由於從過飽和的 α -固溶體內析出碳及其他雜質的緣故。鐵素體的塑性是由於沿著原子分布密度最大的結晶面發生塑性滑移。體心立方晶格具有六個不平行的滑移結晶面，這就使具有這種晶格的材料產生了塑性。

奧氏體 γ -鐵中，碳與合金元素的固溶體結晶成為面心立方晶格(圖2)。

實驗證明，碳原子位於面心立方晶格的中心，或是在結晶學上所謂的肋格的中心。

由於在 γ -鐵的面心立方晶格的中心具有較大的空位，因此可以溶解大量的碳。

當1130°C時，奧氏體溶解碳可達1.7%，在723°C時達0.8%。在鑄鐵中，奧氏體存在於共析轉變以上的溫度範圍內。奧氏體的顯微組織是由同樣的顆粒——雙晶多面體所組成。奧氏體的結構為俄國學者巴依可夫(A. A. Байков)首先發現(1909年)。他是在高溫下的真空中用氯浸蝕顯微磨片，然後在正常的溫度下進行研究發現的。奧氏體無磁性，它是可塑的，其可塑性是由於這種晶格具有一些滑移的結晶面。

不含合金元素的奧氏體硬度為 $170\sim220H_B$ ，抗拉強度為40公斤/公厘²，延伸率 δ 為40~50%。

● 最近的資料達2.0%C。

石墨 石墨是碳的結晶变态的一种。石墨的品格如圖4所示。碳原子在其六角形品格之中排列成層狀，在每一層中，原子的分布很靠近（它們之間的距離為 1.42 \AA ），在它們之間有堅強的原子共價結合；在彼此位置最近的原子層與層相互之間（距離 2.46 \AA ）分子的結合〔溫德華式結合（вандерваальсовы）〕較弱。因此，這些層很容易彼此分離，這也就說明了石墨的強度極小以及其有滑潤作用的原因。

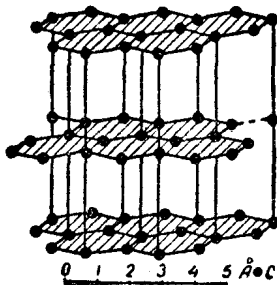


圖4 石墨的品格。

在鑄鐵中，石墨成為卷曲的片狀，或成灰色的球狀（圓粒狀）的夾雜物。石墨可以在灰口鑄鐵與可鍛鑄鐵中、特殊退火后的石墨化高碳鋼中，以及于 $400\sim 600^\circ\text{C}$ 經過長時間保溫的低碳鋼（鍋爐鋼）中遇到。

灰口鑄鐵與可鍛鑄鐵中所見到的石墨的特性是一样的，只是晶粒的大小不同。

石墨晶粒的尺寸等於 $100\cdot10^{-3}$ 公分，而退火的碳是 $(30\sim 50)\cdot10^{-3}$ 公分。

灰口鑄鐵中石墨的比重等於2.22，而退火后碳的比重是2.28。石墨比金屬基體輕得多，但在金屬基體中却占有相當大的體積。

石墨的比熱等於0.2024大卡/公斤·度；線膨脹系數 $(0\sim 400^\circ\text{C})$
 $\alpha = 7.5\sim 8 \times 10^{-6}$ 公分/公分·度；熱傳導 $+0.036\pm 0.001$ 卡/公分·秒·度；分子量或原子量等於12.01；退火碳的單位電阻是 150×10^{-6} 歐姆/公分；硬度 $3\sim 5H_B$ 。

關於鑄鐵中石墨本性的問題，以及關於它的形成機構的問題，是鐵碳合金的金相學中最複雜的爭辯問題，雖然在這方面已有許多理論與實驗的研究，但一直到現在還沒有獲得完善的解決。

按某些著者的研究，灰口鑄鐵中的石墨與通常自然界中的石墨的區別就在於它是鐵、硅和其他元素的固溶體。

然而，X光的分析指出[10]，鐵在石墨中的溶解度不大。

但同时，用机械或化学方法分离出的石墨夹杂物的化学分析。有时发现铁的含量很多，达百分之几十。巴依可夫首先确定了在含碳量不等的铸铁中，石墨夹杂物的含量是不固定的这一事实。根据包格切夫（И. Н. Богачев）[2] 和布宁（К. П. Бунин）[9] 的研究，石墨中并不溶解大量的杂质；从铸铁中所析出的石墨事实上是一种与非金属夹杂物的机械混合物，其成分决定于铸铁的成分。这些夹杂物是石墨结晶时石墨化的中心，它们引起石墨的析出。

当结晶生长时，在其平面之间留下不多的熔化层，其数量因结晶的条件不同，可能有很大的差别。在随后的冷却中，这些部分凝成固体，残留在石墨夹杂物的内部，成为富含铁的相。这也就说明了在进行石墨夹杂物的化学分析时所发现的较高的含铁量。

石墨作为铸铁的一种组织成分，其机械强度较低，因此在拉伸时，其作用与空腔一样。铸铁的机械性能首先取决于石墨夹杂物的大小与型式。

渗碳体 在铁碳合金中，碳与铁的化合物（碳化铁） Fe_3C 和以它为基体的固溶体，称为渗碳体。

某些学者（巴依可夫、布宁等）认为渗碳体是碳在铁内的类稳定的有序固溶体，这种固溶体的成分很固定。渗碳体的结晶结构很复杂（图 5），具有正方体晶格，在单位晶格中有 12 个铁原

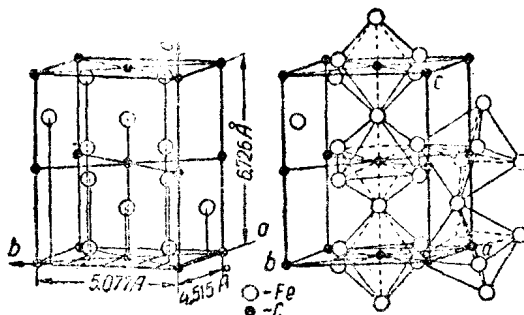


图 5 渗碳体的晶格。

子和4个碳原子。铁原子在晶格中排列得很紧密，因而使渗碳体具有金属的特性。

每一个碳原子被六个铁原子所围绕，形成一个正八面体，其内部有空隙，为碳原子所填充。

渗碳体没有同素异形转变，在低于217°C时，它具有磁性，加热超过这个温度，磁性即消失。

渗碳体的熔点尚未准确定出，大约为1550°C。

渗碳体的比重与铁近似，等于7.82。

表1所列为铁素体、奥氏体和渗碳体的某些物理性质。

表1 铁碳主要相的物理性质

主要相 或原子 的名称	分子量 或原子 量	在20°C 时的晶 格常数 。(A)	在20°C时 (公分 ³ /克)	热 (大卡/公斤·度)	导热率 λ		平均线膨胀系数 $\alpha \cdot 10^6$	线膨胀温度系数 $\alpha \cdot 10^6$ (公分/公分·度)	阻 电 阻 (欧姆/公分)
					在100°C时的 (大卡/公斤·度)	卡/公尺·度			
铁素体	55.85	2.861	0.12708	0.1107	66.0	0.18	14.5	12~12.5	—
奥氏体	55.85	—	—	0.12	36	0.10	—	17~24.0	—
渗碳体	179.5	—	0.13023	0.1480	6.1	0.017	—	6.0~6.5 $\cdot 10^{-6}$	$140 \cdot 10^{-6}$

二 铁碳合金的相平衡图

铁碳合金的稳定系与类稳定系的相平衡图示于图6和7。

根据相平衡图可以判断在不同温度下合金中处于平衡状态的相的成分与相的数目，以及可能的相的转变和其温度范围。

在稳定的平衡图中研究铁与石墨的合金，在类稳定平衡图中研究铁与碳化铁（渗碳体）的合金。铁碳合金具有稳定与类稳定的相平衡图，是由于在铁碳合金中不是永远都形成石墨。有时，

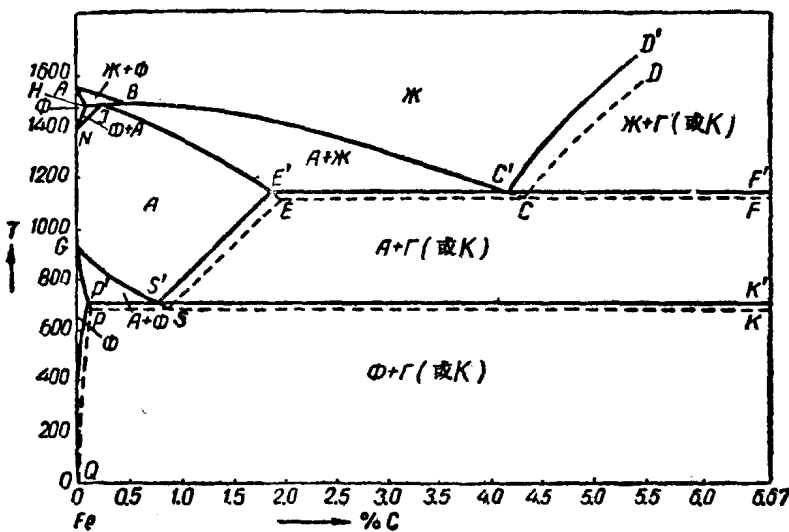


圖 6 鐵碳合金的穩定相平衡圖。

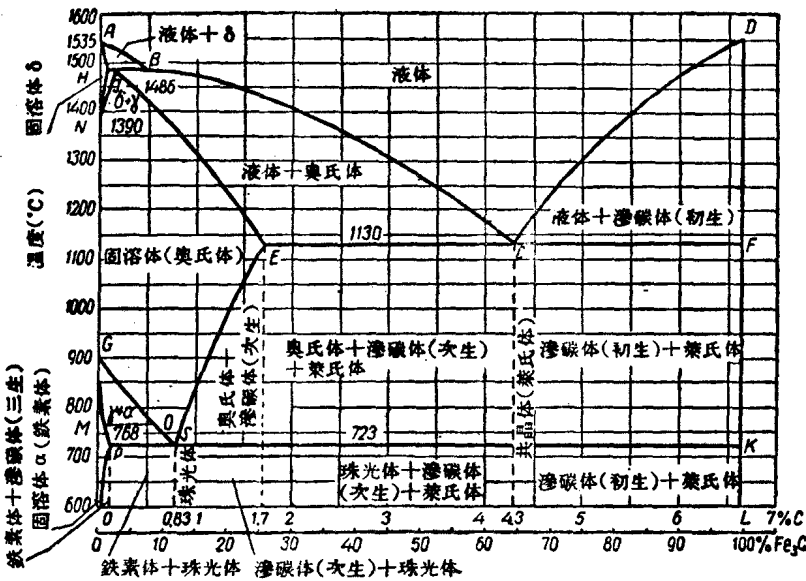


圖 7 鐵碳合金類穩定相平衡圖。

特別是在低溫時，在鋼與鑄鐵內石墨的形成常常受到阻礙，有碳化鐵——滲碳體形成而沒有石墨。

鐵碳合金的穩定相平衡圖

$ABC'D'$ 線（圖 6）稱為液相線，在該線合金結晶開始； $AHJE'C'F'$ 線為固相線，在此線合金結晶終了。

在穩定的平衡圖中，可能出現下列的相：液溶體、石墨、奧氏體和鐵素體。

ABH 區域內是液體相和 δ -固溶體（ δ -鐵）穩定存在的區域。

NHJ 區域內同時存在 δ -固溶體和 γ -固溶體（奧氏體）。 $BC'E'J$ 區域內同時存在液溶體和 γ -固溶體（奧氏體）。在 $C'D'$ 線與 $C'F'$ 線之間是石墨加液溶體的區域。 $S'E'F'K'$ 是奧氏體與石墨同時存在的區域。 GS' 與 GI' 線是表示奧氏體和鐵素體平衡的線。

$GS''P'$ 區域是奧氏體和鐵素體同時存在的區域。

當溫度低於 $P'S'K'$ 時，合金穩定於兩種狀態：鐵素體和石墨。

共析點 S' 、共晶點 C' 和包晶點 J 表示鐵碳合金三個平衡的狀態。 S' 點為奧氏體、鐵素體與石墨的平衡點， C' 點為液體、奧氏體與石墨的平衡點。而 J 點為奧氏體、鐵素體與液溶體的平衡點。

根據圖 6 所示的平衡圖，研究亞共晶、共晶與過共晶成分的灰口鑄鐵的凝固過程。

亞共晶鑄鐵凝固時，當溫度降低到 AC' 線以下，由液溶體開始析出碳在鐵中的固溶體——奧氏體。在圖中 AC' 與 $E'C'$ 線之間的溫度範圍內，將要析出可變成分的奧氏體，當溫度稍低於 $E'C'F'$ 線時，合金凝固終結，結晶為奧氏體（合金中含碳低於 1.7% 時）或奧氏體和共晶体（合金含碳濃度為 1.7~4.32% 時）。共晶体是由極限成分的（含碳 1.72%）奧氏體和石墨組成的。

當溫度繼續下降，將發生固態的轉變。在 $E'C'F'$ 和 $P'S'K'$ 線之間的溫度範圍內，由於溶解度降低，由奧氏體析出次生石墨。當溫度達到 $P'S'K'$ 線以下時，含碳 0.7% 的奧氏體分解，形成由鐵素體與石墨混合物所組成的石墨共析體。

共晶鑄鐵開始凝固時，立即凝固成為共晶體，其固體狀態的轉變與亞共晶成分的灰口鑄鐵相似。

當過共晶鑄鐵在穩定平衡狀態下凝固，待溫度降低到低於 $C'D'$ 線時，碳開始從液溶體中以石墨形態析出，石墨的析出是在 $C'D'$ 和 $E'C'F'$ 兩線間的溫度範圍內進行。

由於石墨的析出，液溶體中碳分減少，液溶體中碳的濃度隨溫度的降低按 $C'D'$ 線而變化，趨向於共晶成分。

自圖中某一區域通過任意一點的水平線，與圖內的基線相交點上，即表明在該溫度下，什麼相處於平衡狀態。水平線與圖上基線的交點向濃度軸作投影點，即決定相的成分。

含碳高於 1.7% 的合金冷卻的結果，形成亞共晶、共晶或過共晶鑄鐵（灰口）。

鐵碳合金的類穩定相平衡圖

所有類穩定的相平衡圖（圖 7）上的線，即與含碳高的各相相關的各線 (PQ , ISK , SE , ECF , CD)，與穩定相平衡圖相應的線比較，相對地向更高的碳分與更低的溫度移動。

由圖 7 所示類穩定平衡圖可以看出，石墨從合金中的析出為碳化物（滲碳體）的析出所代替。

試研究亞共晶、共晶和過共晶白口鑄鐵的凝固過程，亞共晶鑄鐵由於溫度降低到 AC 線以下，由液溶體中開始析出奧氏體，在 AC 、 ECF 線之間，含碳 0.8~1.7% 的合金，將析出可變成分的奧氏體。

含碳量大於 1.7% 的合金，在溫度稍低於 1130°C 時，合金最後凝固終了，結晶成為奧氏體和共晶滲碳體，由含碳 1.7% 的奧氏

体和共晶滲碳体（合金含碳不超过4.3%）所組成的萊氏体。在ECF和PSK綫之間的溫度範圍內，在固体狀態下進行轉變。由於碳在奧氏體內的溶解度（由1.7%到0.8%）的變化，從奧氏體中析出次生滲碳體。

當溫度達到PSK綫以下時，奧氏體趨向於含碳量0.8%，形成共析成分——鐵素體和滲碳體的混合物。這樣，最後相的成分是由鐵素體和滲碳體所組成，後者是由共晶的、次生的和共析的滲碳體所組成。

共晶鑄鐵一開始凝固馬上就結晶成為滲碳體的共晶体，在固体狀態的轉變與亞共晶鑄鐵的轉變相似。

過共晶鑄鐵的溫度降低到低於CD綫時，由液溶體中開始析出初生滲碳體，在CD與ECF綫之間的溫度範圍內一直繼續發生這種轉變。當過冷到稍低於ECF綫的溫度時，則滲碳體的共晶凝固即開始。在ECF和PSK綫之間的溫度範圍內，有可變成分的奧氏體（1.7~0.8% C）和共晶的與次生的滲碳體存在。當溫度低於PSK綫時，溶解碳為0.8%的奧氏體形成鐵素體和滲碳體的共析混合物。合金最後相的組成是鐵素體和滲碳體。

由於合金在類穩定平衡的條件下冷卻，所以形成白口鑄鐵的結構。

利用狀態圖（平衡圖）時，應當考慮到它是在一定的冷卻因素下提供的相的組成概念，並且能計算相的相對數量及其濃度。然而，狀態圖並未考慮時間因素，因此只有在研究合金的結晶動力學與機構學時才可能獲得關於金屬組織的全面概念。

例如，鑄鐵在穩定狀態下冷卻時，獲得灰口鑄鐵，其中石墨是由初生共晶的、次生的和共析的石墨所組成的組織。然而，因擴散之故，無論在什麼時候，即使在極慢的冷卻之後，在組織中也不會出現上述的那種區別。